

## РОСТ ИГЛООБРАЗНОГО КРИСТАЛЛА ОКОЛО СТЕНКИ

Е.А.Бренер, Ю.Саито<sup>1)</sup>, Х.Мюллер-Крумбхаар<sup>\*1)</sup>, Д.Е.Темкин<sup>△</sup>Институт физики твердого тела РАН,  
142432 Черноголовка, Россия<sup>+</sup> Department of Physics, Keio University,  
223 Yokohama, Japan<sup>\*</sup> Institut für Festkörperforschung  
D-52425 Jülich, Germany<sup>△</sup> Институт металловедения и физики металлов  
107005 Москва, Россия

Поступила в редакцию 6 января 1995 г.

Рассматривается рост двумерной иглы в переохлажденном расплаве вдоль теплоизолирующей стенки. Капиллярная длина  $d_0$  считается изотропной. Предложена модель, в которой система разбивается на две части – "свободную", удаленную от стенки, и пристеночную. Первая описывается в модели пограничного слоя, а вторая – в приближении постоянства толщины зазора между стенкой и кристаллом. Сформулированы условия сшивания диффузионных полей и двух частей фронта кристаллизации. Эти условия определяют скорость роста  $v$  и толщину зазора  $\delta$  в функции переохлаждения  $\Delta$ :  $v \approx 0,4(D/d_0)\Delta^5$ ,  $v\delta/D \approx 0,8$ .

Мы рассматриваем рост несимметричного дендрита, инициируемый влиянием теплоизолирующей стенки, вдоль которой он растет. Хорошо известно (см. обзоры [1, 2]), что при свободном росте симметричного дендрита отбор скорости и направления роста, а также характерного масштаба его острия определяются влиянием анизотропии поверхностного натяжения. В то же время при росте в канале такой отбор возможен за счет влияния стенок канала и в отсутствие указанной анизотропии [3]. Несимметричный дендрит (точнее "палец") был обнаружен при численном изучении роста двумерных кристаллов в канале [4]. При ширинах канала, превышающих некоторое критическое значение симметричный палец был неустойчив относительно расщепления острия. Это приводило вначале к образованию двух пальцев, а при последующем их конкурентном росте – к образованию несимметричного стационарно растущего пальца. В очень широких каналах существенно влияние только одной стенки. В этом случае численный анализ [5, 6] также выявил возможность стационарного роста несимметричного дендрита вдоль стенки при изотропном поверхностном натяжении. Скорость роста при этом не зависела от ширины канала.

Мы обсуждаем рост двумерного дендрита около стенки в переохлажденном однокомпонентном расплаве. Рост кристалла контролируется диффузией скрытой теплоты затвердевания. Обсуждается стационарный режим, при котором кристалл, находясь на некотором расстоянии от теплоизолирующей стенки, растет со скоростью  $v$  вдоль нее (см. рисунок). В системе координат, движущейся с этой скоростью вдоль оси  $z$ , стационарное диффузионное поле в расплаве подчиняется уравнению

$$\nabla^2 U + V \partial U / \partial z = 0. \quad (1)$$

<sup>1)</sup> Y.Saito, H.Müller-Krumbhaar.

Здесь  $U$  – разность температур, отсчитанная от температуры расплава вдали от кристалла и обезразмеренная величиной  $L/c$ ,  $L$  – скрытая теплота кристаллизации,  $c$  – теплоемкость;  $V = vd_0/D$  – безразмерная скорость роста,  $d_0$  – капиллярная длина, предполагаемая изотропной,  $D$  – температуропроводность расплава; в уравнении (1) и в последующих уравнениях все длины измеряются в единицах  $d_0$ . На теплоизолирующей стенке выполняется условие

$$(\partial U / \partial x)_{x=0} = 0. \quad (2)$$

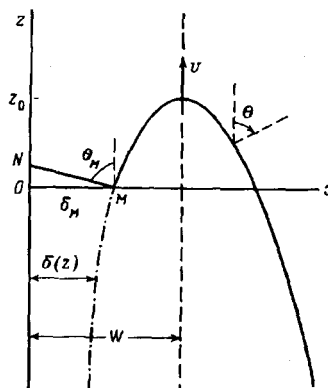
На межфазной границе поле  $U_i$  удовлетворяет условию равновесия Гиббса–Томсона:

$$U_i = \Delta - K \quad (3)$$

и выполняется условие теплового баланса

$$V \cos \theta = -\mathbf{n} \cdot \vec{\nabla} U. \quad (4)$$

Здесь  $K$  – кривизна, обезразмеренная капиллярной длиной  $d_0$ ,  $\Delta$  – безразмерное переохлаждение расплава,  $\theta$  – угол между осью  $z$  и нормалью к границе  $n$ . Для простоты здесь рассматривается так называемая односторонняя модель [7].



Точное решение сформулированной проблемы отсутствует. Можно предполагать различные варианты этого решения. Один вариант: нет отбора и имеется непрерывный спектр решений, характеризуемый, например, зависимостью  $V = V(\delta, \Delta)$  ( $\delta$  – толщина прослойки расплава вдали от вершины иглы). Другой вариант: за счет влияния стенки осуществляется отбор так, что при заданном переохлаждении  $\Delta$  имеются определенные значения скорости роста,  $V = V(\Delta)$ , и толщины прослойки,  $\delta = \delta(\Delta)$ . Мы полагаем, что реализуется последний вариант. Однако и в этом случае имеются две возможности: отбор происходит при любых переохлаждениях  $\Delta > 0$  или только при переохлаждениях, больших некоторого критического, как это имеет место, например, при росте симметричного пальца в канале [3]. Модельное описание, предлагаемое ниже вместо точных уравнений (1)–(4), имеет целью прозондировать сформулированную задачу. Граница раздела и область расплава делятся на две

части – "свободную" (правее линии  $MN$  на рисунке), не учитывающуюся стенки, и пристеночную (левее  $MN$ ). Эти части описываются в рамках различных моделей и сшиваются.

Свободную часть границы разделя описываем на основе модели пограничного слоя [8] следующим уравнением [9]:

$$V(1 - U_i) \cos \theta - \frac{KU_i^2}{\cos^2 \theta} - 2 \operatorname{tg} \theta \cdot KU_i \frac{dU_i}{d\theta} + \\ + \frac{K}{V} \frac{d}{d\theta} \left( \frac{KU_i}{\cos \theta} \frac{dU_i}{d\theta} \right) = 0, \quad \theta_M < \theta < \pi/2. \quad (5)$$

Здесь  $U_i$  задается уравнением (3). Профиль этой части границы можно найти путем численного интегрирования уравнения (5) от точки  $\theta = \pi/2$ , около которой имеем следующее разложение для  $K$  по  $\cos \theta$ :

$$K = V \frac{1 - \Delta}{\Delta^2} \cos^3 \theta + V^2 \frac{(1 - \Delta)(5\Delta - 4)}{\Delta^5} \cos^6 \theta + \dots \quad (6)$$

Граница считается свободной, пока расстояние до стенки,  $-\delta(z)/\sin \theta$ , больше эффективной ширины пограничного слоя, оцениваемой как  $\Delta/V \cos \theta$ . В точке окончания свободного участка,  $\theta = \theta_M$ , указанные величины равны. Поэтому

$$\operatorname{tg} \theta_M = -V \delta_M / \Delta. \quad (7)$$

Для приближенного описания пристеночной области воспользуемся тем, что граница разделя в этой области,  $x = \delta(z)$ , почти параллельна стенке, и сформулируем условия (3) и (4) не на фактической границе, а при  $x = \delta_M$  (см. рисунок):

$$U(\delta_M, z) = \Delta, \quad V\delta'(z) = (\partial U / \partial x)_{x=\delta_M}. \quad (8)$$

Здесь мы пренебрегли вкладом кривизны в уравнении (3). Начало пристеночной области, совпадающее с концом свободной области, находится на линии  $MN$  (см. рисунок). Однако "начальное" распределение зададим не на этой линии, а на линии  $0M$  и примем его линейным:

$$U(x, 0) = \Delta x / \delta_M. \quad (9)$$

Это условие качественно отражает непрерывность диффузионных полей, которое должно выполняться на линии их сшивания  $MN$ . Из уравнений (1), (2) и (8), (9) получаем профиль границы разделя в виде

$$x = \delta(z) = \delta + \frac{4\Delta}{\pi V \delta_M} \sum_{n=1}^{\infty} (-1)^{n+1} \frac{\exp(s_n z)}{(2n - 1)s_n} \quad (z \leq 0), \quad (10)$$

где  $\delta \equiv \delta(-\infty)$ ,  $\delta_M \equiv \delta(0)$  и

$$s_n = -V/2 + [(V/2)^2 + \pi^2(2n - 1)^2 / 4\delta_M^2]^{1/2}. \quad (11)$$

Из уравнения (10) следует, что в точке сшивания  $\operatorname{tg} \theta \equiv -1/\delta'(0)$  совпадает с  $\operatorname{tg} \theta_M$  из условия (7). Таким образом, профиль (10) автоматически удовлетворяет условию непрерывности углов в точке сшивания.

Сформулируем еще два дополнительных условия сшивания. Сшивание диффузионных полей требует непрерывности этих полей и потоков (или первых производных от полей) на линии сшивания  $MN$ . Первое из этих условий уже выполнено. Вместо второго потребуем выполнения условия глобального баланса в полосе  $0 < x < W$ , параллельной теплоизолирующей стенке (на рисунке штриховая линия  $x = W$  проходит через вершину иглы)

$$Q + V(W - \delta) = VW\Delta, \quad Q = \int_{z_0}^{\infty} \left( \frac{\partial U}{\partial x} \right)_{x=W} dz.$$

Здесь  $Q$  есть общий поток тепла в данную полосу из остальной области расплава. В модели пограничного слоя [8] этот поток оценивается как  $Q = -[\Delta - K(0)]K(0)K'(0)/V$ . Поэтому условие глобального баланса принимает вид

$$V \left\{ \int_{\theta_M}^0 \frac{\cos \theta d\theta}{K(\theta)} + \delta_M - \delta - \frac{\Delta \delta}{1 - \Delta} \right\} - \frac{\Delta - K(0)}{V(1 - \Delta)} K(0)K'(0) = 0. \quad (12)$$

Наконец, потребуем непрерывности кривизны профиля в точке сшивания

$$-\left[ \frac{\delta''}{(1 + (\delta')^2)^{3/2}} \right]_{z=0} = K(\theta_M).$$

Учитывая выражения (10), (11) для  $\delta(z)$ , находим при  $V\delta_M \ll \pi$

$$2\Delta/\pi V\delta_M^2 [1 + \Delta^2/(V\delta_M)^2]^{3/2} = K(\theta_M), \quad (13)$$

где

$$\delta_M = \delta + 8\Delta G/\pi^2 V, \quad (14)$$

$G = 0,916\dots$  – постоянная Каталана.

Уравнение (5) совместно с (7) и (12)–(14) определяет скорость роста иглы  $V$  и толщину зазора  $\delta$  между ней и стенкой в функции переохлаждения  $\Delta$ . Эти зависимости определялись численно. При фиксированном  $\Delta$  задавались пробные значения  $V$  и  $\delta$ . Из уравнений (7) и (14) находились величины  $\theta_M$  и  $\delta_M$ . Уравнение (5) интегрировалось с учетом разложения (6) от  $\theta = \pi/2$  и находились величины  $K(0)$ ,  $K(\theta_M)$  и др., входящие в уравнения (12) и (13). Последние два уравнения использовались для определения  $V$  и  $\delta$  при заданном  $\Delta$ . Численные результаты при малых  $\Delta$  описываются соотношениями

$$V \simeq 0,4\Delta^5, \quad \delta \simeq 2\Delta^{-5} \quad V\delta \simeq 0,8. \quad (15)$$

Удаленный от стенки хвост дендрита описывается при этом уравнением параболы  $K(\theta) = (V/\Delta^2) \cos^3 \theta$  с радиусом остряя  $\rho \equiv 1/K(0) \simeq 2,5\Delta^{-3}$ .

Таким образом, рассмотренная модель дает для скорости роста дендрита вдоль стенки такую же зависимость от переохлаждения,  $v \sim (D/d_0)\Delta^5$ , какую модель пограничного слоя дает для свободного дендрита [9] (напомним, что в строгой теории скорость свободного дендрита пропорциональна  $\Delta^4$  [1, 2]). Имеется, однако, и принципиальное различие. Скорость свободного дендрита зависит от анизотропии поверхностного натяжения и обращается в нуль в

изотропном случае [1, 2, 9], тогда как дендрит около стенки растет с конечной скоростью и при изотропном поверхностном напряжении. В заключение подчеркнем, что проблема роста несимметричного дендрита, рассмотренная здесь в рамках грубой модели, требует дальнейшего изучения более тонкими аналитическими методами.

Эта работа частично финансировалась фирмой "Volkswagen" (I/70027) и Российским фондом фундаментальных исследований (93-02-2113).

- 
1. D.Kessler, J.Koplik, and H.Levine, *Adv. Phys.* **37**, 255 (1988).
  2. E.A.Brener and V.I.Melnikov, *Adv. Phys.* **40**, 53 (1991).
  3. Е.А.Бренер, М.Б.Гейликман, Д.Е.Темкин, ЖЭТФ **94**, 241 (1988).
  4. E.Brener, H.Müller-Krumbhaar, Y.Saito, and D.Temkin, *Phys. Rev. E* **47**, 1151 (1993).
  5. T.Ihle and H.Müller-Krumbhaar, *Phys. Rev. Lett.* **70**, 3083 (1993); T.Ihle and H.Müller-Krumbhaar, *Phys. Rev. E* **49**, 2972 (1994).
  6. R.Kupferman, D.A.Kessler, and E.Ben-Jacob, to be published.
  7. J.S.Langer, *Rev. Mod. Phys.* **52**, 1 (1980).
  8. E.Ben-Jacob, N.Goldenfeld, J.S.Langer, and G.Shon, *Phys. Rev. A* **29**, 330 (1984).
  9. J.S.Langer and D.C.Hong, *Phys. Rev. A* **34**, 1462 (1986).